

### Introducción a la Cuantificación

ESTIMANDO PREVALENCIAS POR CLASE MEDIANTE APRENDIZAJE SUPERVISADO

Juan José del Coz Velasco juanjo@uniovi.es Centro de Inteligencia Artificial - Universidad de Oviedo

### **Problema**

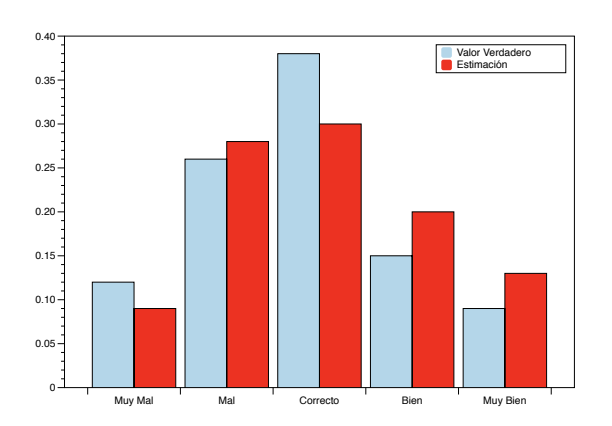
### **Problema**



#### Cuantificación

#### Objetivo

Estimar la distribución de las clases en un conjunto de ejemplos sin etiquetar para el que la predicción de la clase de cada ejemplo es innecesaria



# Clasificar y Contar NO funciona

#### Cuantificación Binaria

Datos: 
$$D^{tr} = \{(x_i^{tr}, y_i^{tr})\}_{i=1}^n \sim S$$
 
$$x_i^{tr} \in \mathcal{X},$$
 
$$y_i^{tr} \in \mathcal{Y} = \{-1, +1\}$$

Modelo:  $\bar{h}: \mathbb{N}^{\mathcal{X}} \longrightarrow [0,1]$ 

**Predicción**: Dado un conjunto, 
$$D^{te} = \{x_j^{te}\}_{j=1}^m \sim T$$

$$\bar{h}(D^{te}) = \hat{p} \qquad \text{predice la proporción de positivos en } D^{te}$$
 
$$\left( \text{la proporción de los negativos será } \hat{n} = 1 - \hat{p} \right)$$

#### Medidas de error:

- de regresión (error absoluto, cuadrático, relativo),
- divergencias (KLD)

### Clasificar & Contar (CC)

- Es el método más sencillo
- Entrenamiento: se induce un clasificador binario usando  $D^{tr}$

$$h: \mathcal{X} \longrightarrow \{-1, +1\}$$

• Predicción: se clasifican los ejemplos de  $D^{te}$  y se cuentan los que se predicen como positivos

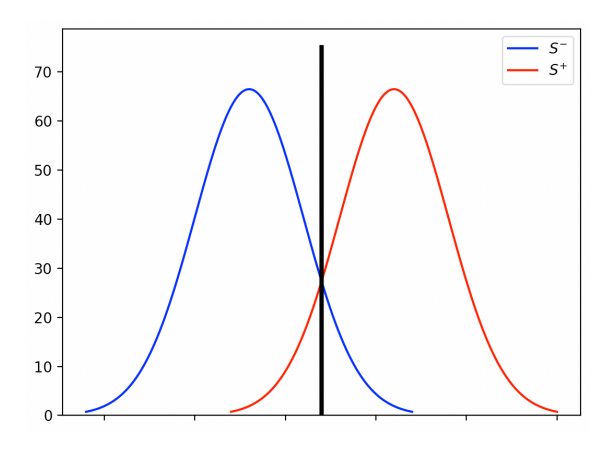
$$\hat{p}_{CC} = \bar{h}(D^{te}) = \frac{1}{m} \sum_{x_j \in D^{te}} I(h(x_j) = +1)$$

#### **Problema**

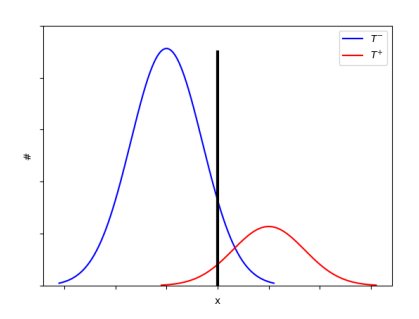
#### Produce resultados subóptimos:

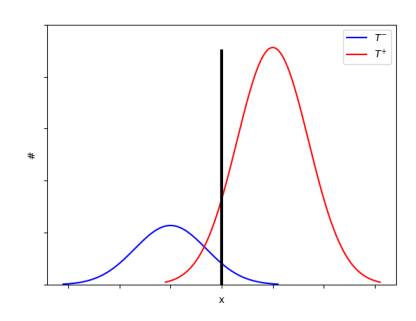
- subestima la prevalencia cuando los positivos crecen, y
- sobreestima la prevalencia cuando los positivos decrecen

### Demostración #1: Gráficamente



### Demostración #1: Gráficamente





#### Malas noticias

No funciona porque la distribución de las clases cambia

#### Relación clave

$$\hat{p}_{CC} = tpr \cdot p + fpr \cdot (1-p)$$

**Teorema**: El método CC, usando un clasificador imperfecto, subestimará p cuando  $p > p^*$ , y sobreestimará p para  $p < p^*$ , donde  $p^*$  es la proporción en la que el método CC da una estimación correcta.

**Demostración**: Asumamos que CC retorna una estimación perfecta para un valor  $p^*$ . Para un valor  $p^*+\epsilon$ ,  $\epsilon \neq 0$ , CC no dará la prevalencia perfecta:

$$\hat{p}_{CC} = tpr \cdot (p^* + \epsilon) + fpr \cdot (1 - (p^* + \epsilon))$$
$$= p^* + (tpr - fpr) \cdot \epsilon$$

- $\hat{p}_{CC} = p^* + \epsilon \iff tpr fpr = 1$  (clasificador perfecto)
- tpr fpr < 1:
  - 1. si  $\epsilon>0$ , la estimación será más pequeña que  $p^*+\epsilon$
  - 2. if  $\epsilon < 0$ , la estimación será más grande que  $p^* + \epsilon$

### Probablistic CC (PCC) [Bella et. al., 2008]

lacktriangle Entrenamiento: se induce un clasificador binario probabilístico usando  $D^{tr}$ 

$$f: \mathcal{X} \longrightarrow [0,1], \qquad f(x) = P(y = +1|x)$$

 Predicción: se obtiene con f la probabilidad a posteriori de pertenecer a la clase positiva de todos los ejemplos de D<sup>te</sup> y se calcula la media.

$$\hat{p}_{PCC} = \frac{1}{m} \sum_{x_j \in D^{te}} f(x_j) = \frac{1}{m} \sum_{x_j \in D^{te}} P(y = +1|x_j)$$

#### Características

- Mismos sesgos que el CC
- Sin embargo, PCC es el cuantificador óptimo en un tipo de problemas (lo discutiremos más adelante)

A. Bella, C. Ferri, J. Hernández-Orallo y M.J. Ramírez-Quintana (2010). "Quantification via Probability Estimators". En: *IEEE ICDM'10*, págs. 737-742

### Cambios en la Distribución

#### Cambios en la Distribución de los Datos

La distribución de los datos cambia por definición del propio problema. Por tanto sabemos que la asunción i.i.d. NO se cumple.

$$P_{tr}(x,y) \neq P_{te}(x,y)$$

#### **Cambios**

- P(y) cambia seguro (si no, no habría problema)
- Debemos hacer alguna asunción sobre P(x), P(y|x) y P(x|y) dependiendo de la aplicación a resolver

#### Problemas:

- $\mathcal{X} \to \mathcal{Y}$ : P(x,y) = P(y|x)P(x)
- $\mathcal{Y} \to \mathcal{X}$ : P(x,y) = P(x|y)P(y)

#### Tipos de Cambios

- prior probability shift:  $\mathcal{Y} \to \mathcal{X}$ , P(y) cambia, P(x|y) constante
- covariate shift:  $\mathcal{X} \to \mathcal{Y}$ , P(x) cambia, P(y|x) constante
- concept shift (o drift):  $\mathcal{X} \to \mathcal{Y}$ , P(y|x) cambia, P(x) constante;  $\mathcal{Y} \to \mathcal{X}$ , P(x|y) cambia, P(y) constante

J.G. Moreno-Torres, T. Raeder, R. Alaiz-Rodríguez, N.V. Chawla y F. Herrera (2012). "A unifying view on dataset shift in classification". En: Pattern Recognition 45.1, págs. 521-530

# Algoritmos

## Adjusted Count (AC) [Forman, 2008]

$$\hat{p}_{CC} = tpr \cdot p + fpr \cdot (1-p)$$

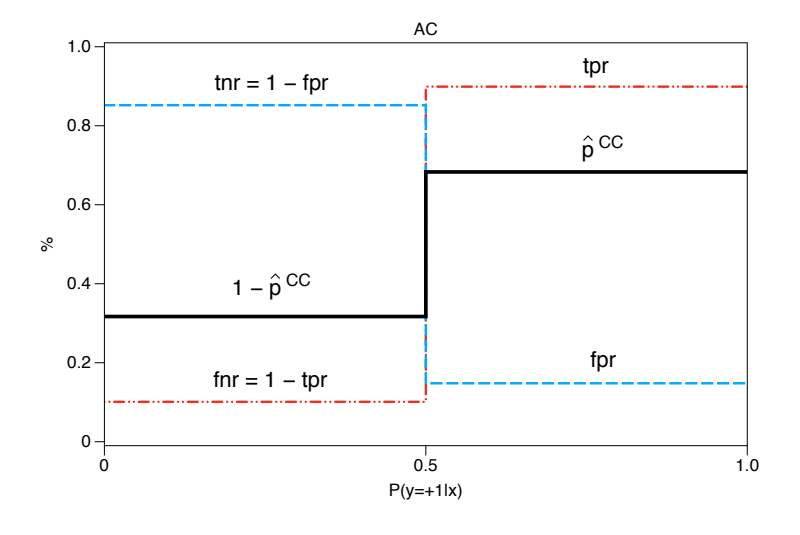
Si asumimos que P(x|y) es constante,  $P_{tr}(x|y) = P_{te}(x|y)$ , entonces tpr y fpr son independientes de los cambios en la distribución y se puede corregir la estimación dada por el método CC:

- 1. Entrenamos un clasificador
- 2. Estimamos su tpr y fpr (p.e. CV, LOO)
- 3. Aplicamos el método Classify & Count y obtenemos  $\hat{p}_{CC}$
- 4. Se corrige esa estimación usando:

$$\hat{p}_{AC} = \frac{\hat{p}_{CC} - fpr}{tpr - fpr}$$

- 5. Nos aseguramos de que el valor esté en  $\left[0,1\right]$
- G. Forman (2008). "Quantifying counts and costs via classification". En: Data Mining and Knowledge Discovery 17.2, págs. 164-206

### **AC** Gráficamente



### Probabilistic AC [Bella et. al., 2008]

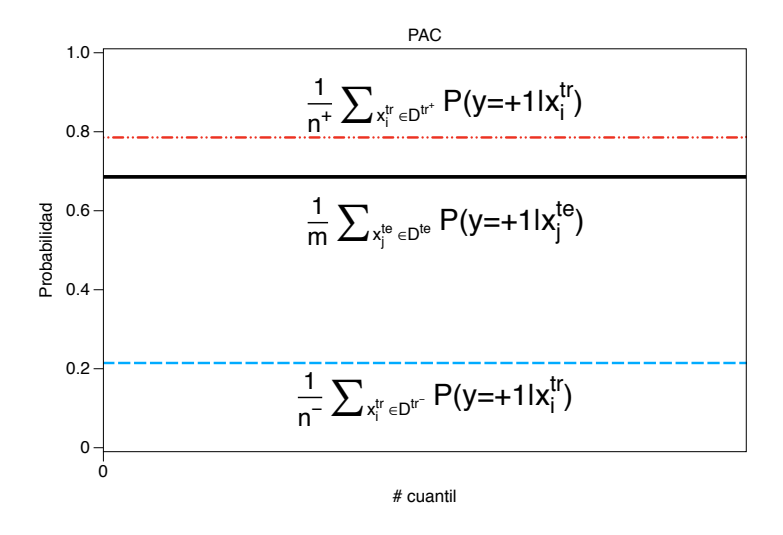
- 1. Entrena un clasificador binario probabilístico, f
- 2. Calcula la máxima y la mínima probabilidad media posible:
  - $\bullet$  Máxima, todos positivos:  $maxPA = \frac{1}{n^+} \sum\limits_{x_i^{tr} \in D^{tr+}} f(x_i^{tr})$
  - $\bullet$  Mínima, todos negativos:  $minPA = \frac{1}{n^-} \sum\limits_{x_i^{tr} \in D^{tr-}} f(x_i^{tr})$
- 3. Aplica el clasificador a los ejemplos de test y corrige como el AC:

$$\hat{p}^{PAC} = \frac{\frac{1}{m} \sum\limits_{x_{j}^{te} \in D^{te}} f(x_{j}^{te}) - minPA}{maxPA - minPA},$$

4. Nos aseguramos de que el valor esté en  $\left[0,1\right]$ 

A. Bella, C. Ferri, J. Hernández-Orallo y M.J. Ramírez-Quintana (2010). "Quantification via Probability Estimators". En: *IEEE ICDM'10*, págs. 737-742

#### **PAC Gráficamente**



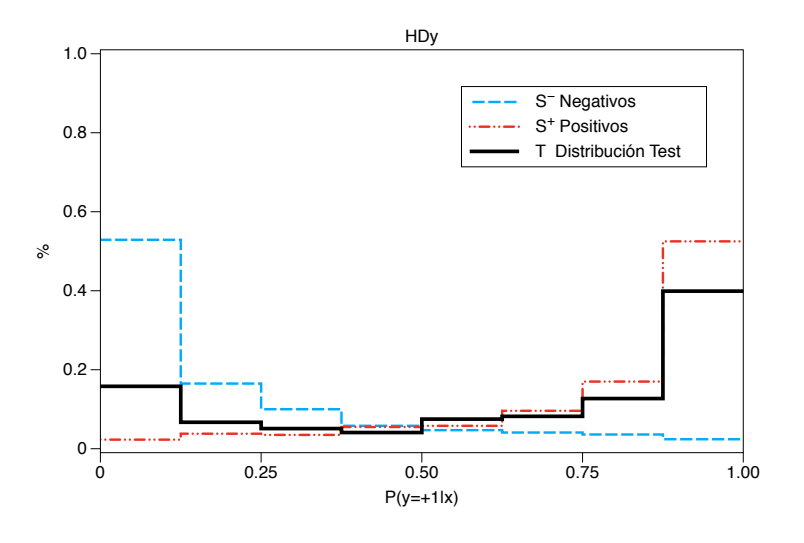
### HDy [González-Castro et al, 2012]

- 1. Entrena un clasificador binario probabilístico, f
- 2. Calcula histogramas de b particiones de las predicciones de f para la clase positiva y la clase negativa con el conjunto de entrenamiento  $D^{tr}$
- 3. Calcula el histograma del conjunto de test  $D^{te}$
- 4. El valor de p que retorna es el valor que minimiza la distancia de Hellinger entre el histograma del conjunto de test y una mezcla ponderada por p de los histogramas de la clase positiva y negativa

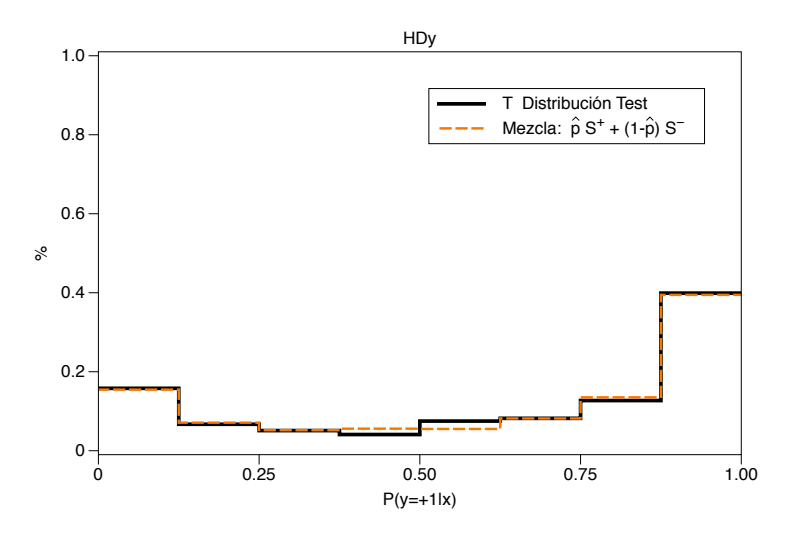
$$\min_{\hat{p}} \quad \sqrt{\sum_{k=1}^{b} \left( \sqrt{\frac{|D_{k,l}^{tr-}|}{n^{-}}} (1-\hat{p}) + \frac{|D_{k,l}^{tr+}|}{n^{+}} \hat{p}} - \sqrt{\frac{|D_{k,l}^{te}|}{m}} \right)^{2} }$$
 
$$s.a. \qquad \qquad 0 \leq \hat{p} \leq 1.$$

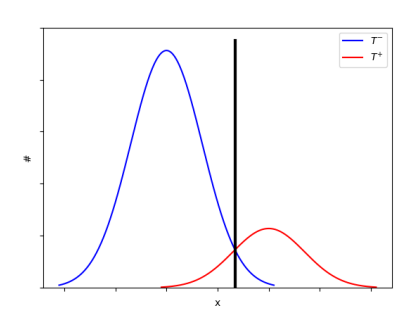
Víctor González-Castro, Rocio Alaiz-Rodríguez y Enrique Alegre (2012). "Class Distribution Estimation based on the Hellinger Distance". En: *Information Sciences* 218, págs. 146-164

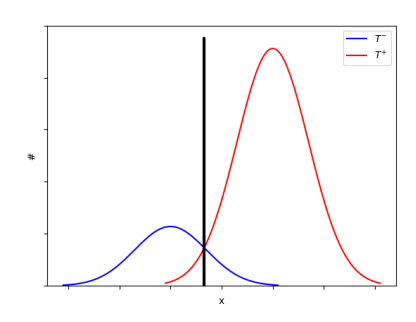
### HDy [González-Castro et al, 2012]



### HDy [González-Castro et al, 2012]







- Parte de un clasificador probabilístico f y lo "actualiza" para que se ajuste a la distribución de test, pero sin reentrenarlo
- lacktriangle Reajusta las probabilidades a posteriori de todos los ejemplos de  $D^{te}$
- Cuantificar: basta con aplicar PCC con las probabilidades ajustadas

M. Saerens, P. Latinne y C. Decaestecker (2002). "Adjusting the outputs of a classifier to new a priori probabilities: A simple procedure". En: *Neural Computation* 14.1, págs. 21-41

### Cuantificador basado en EM [Saerens et al 2002]

Como  $P_{tr}(x|y) = P_{te}(x|y)$ , aplicando Bayes,  $P(A|B) = \frac{P(B|A) \cdot P(A)}{P(B)}$ :

$$\frac{P_{tr}(y\!=\!+1|x)P_{tr}(x)}{P_{tr}(y\!=\!+1)} = \frac{P_{te}(y\!=\!+1|x)P_{te}(x)}{P_{te}(y\!=\!+1)}$$

Despejando  $P_{te}(y=+1|x)$  tenemos:

$$P_{te}(y=+1|x) = \frac{P_{tr}(x)}{P_{te}(x)} \frac{P_{te}(y=+1)}{P_{tr}(y=+1)} P_{tr}(y=+1|x)$$
 (1)

Calculamos igual  $P_{te}(y=-1|x)$  y como  $P_{te}(y=+1|x)+P_{te}(y=-1|x)=1$ :

$$\frac{P_{tr}(x)}{P_{te}(x)} \left[ \frac{P_{te}(y=+1)}{P_{tr}(y=+1)} P_{tr}(y=+1|x) + \frac{P_{te}(y=-1)}{P_{tr}(y=-1)} P_{tr}(y=-1|x) \right] = 1$$

#### Ajustar probabilidades a posteriori

$$P_{te}(y=+1|x) = \frac{\frac{P_{te}(y=+1)}{P_{tr}(y=+1)} P_{tr}(y=+1|x)}{\frac{P_{te}(y=+1)}{P_{tr}(y=+1)} P_{tr}(y=+1|x) + \frac{P_{te}(y=-1)}{P_{tr}(y=-1)} P_{tr}(y=-1|x)}$$

### Cuantificador basado en EM [Saerens et al 2002]

Dado un conjunto  $D^{te} = \{x_1, \dots, x_m\}$  maximizamos la verosimilitud:

$$L(x_1,\ldots,x_m) = \prod_{i=1}^m P_{te}(x_i|y=+1)P_{te}(y=+1) + P_{te}(x_i|y=-1)P_{te}(y=-1)$$

Algoritmo: modelo  $P_{te}(y=+1)$ , vbles ocultas  $P_{te}(y=+1|x_i) \ \forall x_i \in D^{te}$ 

Inicio: 
$$P_{te}^0(y=+1) = P_{tr}(y=+1)$$

$$\text{Paso E:} \ P_{te}^{k}(y = +1|x_{i}) = \frac{\frac{P_{te}^{k}(y = +1)}{P_{tr}(y = +1)}P_{tr}(y = +1|x_{i})}{\frac{P_{te}^{k}(y = +1)}{P_{tr}(y = +1)}P_{tr}(y = +1|x_{i}) + \frac{P_{te}^{k}(y = -1)}{P_{tr}(y = -1)}P_{tr}(y = -1|x_{i})}$$

Paso M: 
$$P_{te}^{k+1}(y=+1) = \frac{1}{m} \sum_{i=1}^{m} P_{te}^{k}(y=+1|x_i)$$

Stop: nº máximo de iteraciones o  $|P_{te}^{k+1}(y\!=\!+1)\!-\!P_{te}^{k}(y\!=\!+1)|\!<\!\epsilon$ 

### Tipos de Algoritmos

### Dos Tipos de Algoritmos de Cuantificación

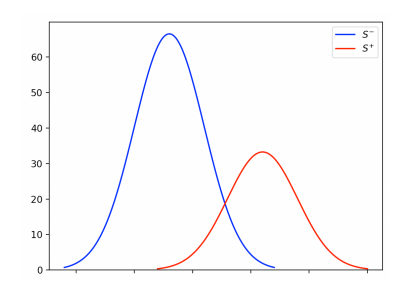
El problema de cuantificación, bajo la asunción de prior probability shift, se ha resuelto usando dos técnicas de aprendizaje conocidas:

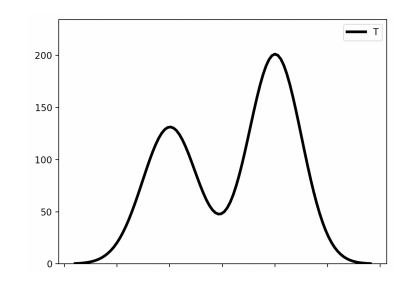
- Estimar densidades: si eres capaz de estimar bien las distribuciones, solo tienes que mezclarlas y ajustarlas para obtener la prevalencia real. Ejemplos: todos los algoritmos que hemos visto salvo el EM.
- Calibración: si eres capaz de obtener un clasificador probabilístico bien calibrado con los datos de entrenamiento, entonces tienes resuelto el problema de cuantificación. Ejemplo: método EM.

#### Consistencia de Fisher

Ambos enfoques cumplen con la consistencia de Fisher. Significa que el error en cuantificación disminuye a medida que aumenta el tamaño de la muestra de test

### Estimar y Ajustar Distribuciones





$$\min_{\hat{p}} \quad \Delta(T, S^- \cdot (1 - \hat{p}) + S^+ \cdot \hat{p}),$$
 
$$s.a. \qquad 0 \le \hat{p} \le 1.$$

- Esta familia de métodos varía en tres aspectos:
  - 1. la métrica  $\Delta$  para medir la similitud entre las distribuciones,
  - 2. la forma de representar las distribuciones, y
  - 3. cómo buscar el valor óptimo para  $\hat{p}$ .
- Se asume P(x|y) cte,  $S^+$  y  $S^-$  varian uniformemente con  $\hat{p}$

### Estimar y Ajustar Distribuciones

# Usan normalmente las predicciones de un clasificador y no el espacio original de atributos

- Es más conveniente porque estimas la densidad en un espacio más pequeño, en concreto c-1 dimensiones siendo c el número de clases
- Produce mejores resultados
- Y es correcto, cumple la asunción de prior probability shift

**Lema** [Lipton et al. 2018]: Si  $P_{tr}(x|y) = P_{te}(x|y)$  es cierto, entonces también es cierto que  $P_{tr}(f(x)|y) = P_{te}(f(x)|y)$ , siendo f un clasificador.

Zachary C Lipton, Yu-Xiang Wang y Alex Smola (2018). "Detecting and Correcting for Label Shift with Black Box Predictors". En: ICML 2018

### Estimar y Ajustar Distribuciones: Métodos

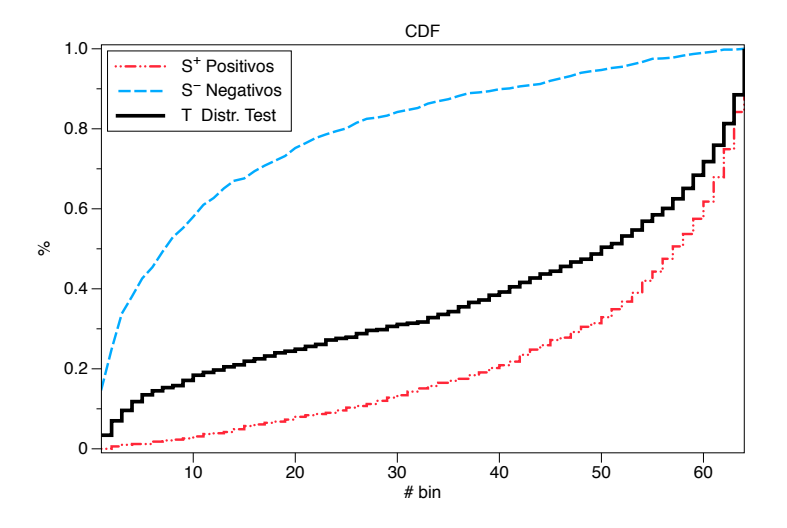
#### Métodos para estimar las densidades:

- PDFs (histogramas): AC [Forman 2008], HDX, HDy [González-Castro et al, 2012]
- CDFs: MM [Forman 2008], ORD [Maletzke et al. 2019]
- Cuantiles: PAC [Bella et al. 2010], QUANTy [Castaño et al. 2022]
- Conjuntos: EDX [Kawakubo et al. 2016], EDy [Castaño et al. 2018]

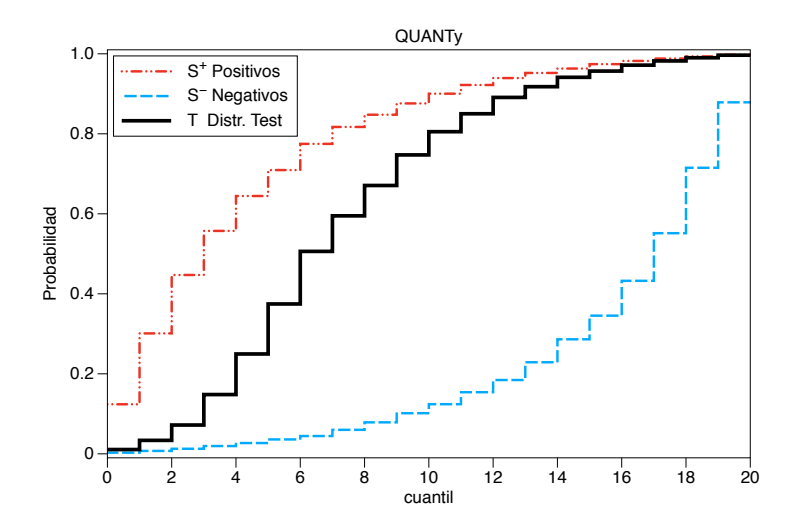
#### Medidas de similitud entre distribuciones ( $\Delta$ ):

- Hellinger Distance: HDX, HDy [González-Castro et al, 2012]
- Energy Distance: EDx [Kawakubo et al. 2016], EDy [Castaño et al. 2018]
- Earth Mover's Distance (EMD): [Maletzke et al. 2019]
- Normas: L1 [Forman 2008], L2 [Firat 2016]

### **CDFs**



### Cuantiles



#### Calibración del Clasificador

- Puedes aplicar cualquier método de calibración existente
- Depende a veces del clasificador que utilices
- El método basado EM [Saerens et al. 2002] es uno de los mejores algoritmos de cuantificación
- Pero es altamente dependiente de la calibración
- Los métodos basados en ajustes de distribución son más estables, aunque a veces puedan estimar peor que el método basado en EM

Amr Alexandari, Anshul Kundaje y Avanti Shrikumar (2020). "Maximum likelihood with bias-corrected calibration is hard-to-beat at label shift adaptation". En: *International Conference on Machine Learning*. PMLR, págs. 222-232

### ¿Qué pasa si no hay prior probability shift?

Covariate shift,  $\mathcal{X} \to \mathcal{Y}$ , P(x) cambia, P(y|x) constante

 ${\color{red} \bullet}$  Probabilistic CC es óptimo para covariate shift ya que estima P(y|x) y eso no cambia aunque cambie P(x)

Concept shift, cambia el concepto de la clase, dos casos:

- $\mathcal{X} \to \mathcal{Y}$ , P(y|x) cambia, P(x) constante: estimar las prevalencias a partir de datos etiquetados pasaría por aprender el nuevo concepto
- $\mathcal{Y} \to \mathcal{X}$ , P(x|y) cambia, P(y) constante: no es un problema de cuantificación ya que P(y) es constante

Cuantificación Multiclase

#### Cuantificación Multiclase

Datos: 
$$D^{tr} = \{(x_i^{tr}, y_i^{tr})\}_{i=1}^n \sim S$$
 
$$x_i^{tr} \in \mathcal{X},$$
 
$$y_i^{tr} \in \mathcal{Y} = \{1, 2, \dots, k\}$$

Modelo:  $\bar{h}: \mathbb{N}^{\mathcal{X}} \longrightarrow [0,1]^k$ 

**Predicción**: Dado un conjunto,  $D^{te} = \{x_j^{te}\}_{j=1}^m \sim T$ 

$$\bar{h}(D^{te}) = [\hat{p}_1, \hat{p}_2, \dots, \hat{p}_k], \quad \hat{p}_j \ge 0, \sum_{j=1}^k \hat{p}_j = 1$$

#### Medidas de error:

- de regresión multiobjetivo (error absoluto, cuadrático, relativo),
- divergencias (KLD)

### Algoritmos de Cuantificación Multiclase

Los cuantificadores que hemos visto son extensibles fácilmente a multiclase

$$\begin{aligned} &\mathsf{AC:}\ P_{D^{te}}(h(x) = c_a) = \sum_{l=1}^k P(h(x) = c_a | y = c_l) P_{D^{te}}(y = c_l) \\ & \left( \begin{array}{ccc} P_{D^{tr}}(c_1 | c_1) \ P_{D^{tr}}(c_1 | c_2) \ P_{D^{tr}}(c_1 | c_3) \\ P_{D^{tr}}(c_2 | c_1) \ P_{D^{tr}}(c_2 | c_2) \ P_{D^{tr}}(c_2 | c_3) \\ P_{D^{tr}}(c_3 | c_1) \ P_{D^{tr}}(c_3 | c_2) \ P_{D^{tr}}(c_3 | c_3) \end{array} \right) * \begin{pmatrix} \hat{p}_1 \\ \hat{p}_2 \\ \hat{p}_3 \end{pmatrix} = \begin{pmatrix} P_{D^{te}}(h(x) = c_1) \\ P_{D^{te}}(h(x) = c_2) \\ P_{D^{te}}(h(x) = c_3) \end{pmatrix}$$

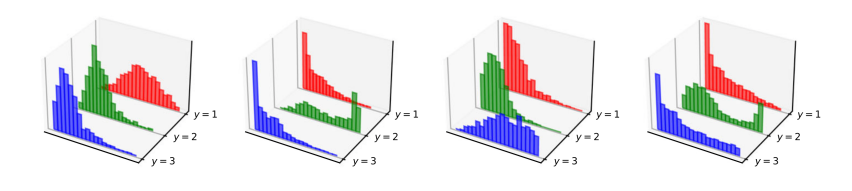
PAC: Sistema de ecuaciones similar a AC pero con medias de probabilidades

EM:

$$P_{D^{te}}(y=c_a|x_i) = \frac{\frac{P_{D^{te}}(y=c_a)}{P_{D^{tr}}(y=c_a)} P_{tr}(y=c_a|x_i)}{\sum_{l=1}^k \frac{P_{D^{te}}(y=c_l)}{P_{D^{tr}}(y=c_l)} P_{tr}(y=c_l|x_i)}$$

### El problema del HDy

HDy calcula histogramas independientes para cada clase



Conjuntos distintos pueden generar los mismos histogramas

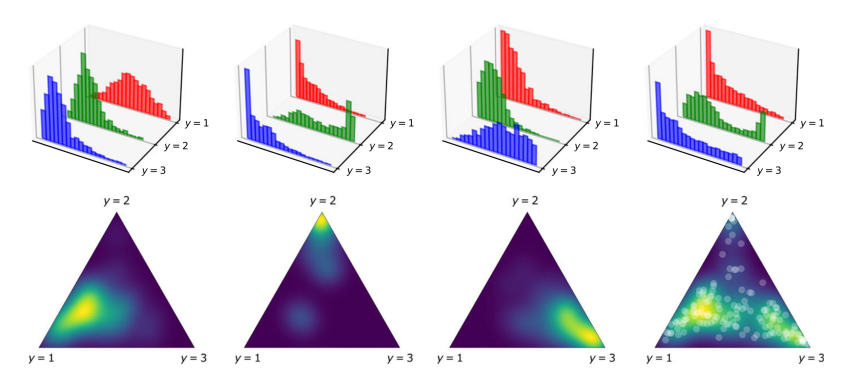
$$A = \begin{cases} a_1 &= (0,1, 0,2, 0,3, 0,4) \\ a_2 &= (0,2, 0,3, 0,4, 0,1) \\ a_3 &= (0,3, 0,4, 0,1, 0,2) \end{cases} \quad A' := \begin{cases} H_1 = \operatorname{hist}(\{0,1,0,2,0,3\}) \\ H_2 = \operatorname{hist}(\{0,2,0,3,0,4\}) \\ H_3 = \operatorname{hist}(\{0,3,0,4,0,1\}) \\ H_4 = \operatorname{hist}(\{0,4,0,1,0,2\}) \end{cases}$$

$$B = \begin{cases} b_1 &= (0,1, 0,3, 0,4, 0,2) \\ b_2 &= (0,3, 0,2, 0,1, 0,4) \\ b_3 &= (0,2, 0,4, 0,3, 0,1) \end{cases} \quad B' := \begin{cases} H'_1 = \operatorname{hist}(\{0,1,0,2,0,3\}) \\ H'_2 = \operatorname{hist}(\{0,1,0,3,0,2\}) \\ H'_2 = \operatorname{hist}(\{0,3,0,2,0,4\}) \\ H'_3 = \operatorname{hist}(\{0,4,0,1,0,3\}) \\ H'_4 = \operatorname{hist}(\{0,2,0,4,0,1\}) \end{cases}$$

32

# KDEy [Moreo et al 2025]

- Proyectar las probabilidades sobre el simplex de dimensión  $n^{Q}$  de clases 1
- Estimar las densidades usando Kernel Density Estimation



Alejandro Moreo, Pablo González y Juan José del Coz (2025). "Kernel density estimation for multiclass quantification". En:  $Machine\ Learning\ 114.4$ , pág. 92

**Enfoque Simétrico** 

### Aprendizaje Simétrico

Los métodos que hemos visto usan un enfoque asimétrico:

Datos, problema de clasificación:  $D^{tr} = \{(x_i^{tr}, y_i^{tr})\}_{i=1}^n$ 

Modelo, regresión sobre conjuntos:  $\bar{h}: \mathbb{N}^{\mathcal{X}} \longrightarrow [0,1]$ 

#### Sería mejor poder usar un enfoque simétrico

Datos, problema de cuantificación sobre conjuntos:

$$D^{tr} = \{(D_i^{tr}, y_i^{tr})\}_{i=1}^b, D_i^{tr} = \{x_{ij}^{tr}\}_{j=1}^n, y_i^{tr} \in [0, 1]^k$$

- Ventajas
  - Se puede optimizar realmente el modelo para una función de pérdida
  - Aprende la distribución de las bags (no prior, no covariate,...)
  - Se puede usar cuando no tienes ejemplos individuales etiquetados
- Desventajas
  - Aprender sobre objetos que son conjuntos no es sencillo
  - Difícil conseguir datos así en muchos problemas reales

#### Deep Learning

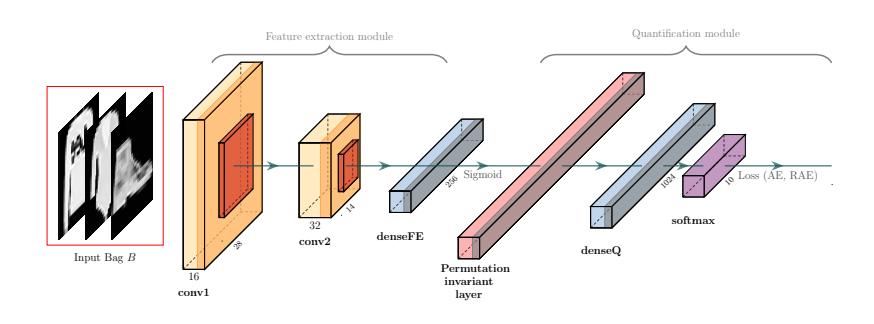
Los métodos de Deep Learning son especialmente buenos para tratar datos complejos y en cuantificación tenemos conjuntos o bags

- 1. Deep Sets [Zaheer et al. 2017]
  - Usan operadores de pooling que son invariantes a las permutaciones: máximo, media, ...
  - Proponen usar Transformers sobre conjuntos: SetTransformes
- 2. Deep Sets para cuantificación [Qi et al. 2020]
  - Es simplemente la aplicación de Deep Sets, con las capas de pooling como el máximo o la media

Manzil Zaheer, Satwik Kottur, Siamak Ravanbakhsh, Barnabas Poczos, Russ R Salakhutdinov y Alexander J Smola (2017). "Deep sets". En: Advances in neural information processing systems 30

Lei Qi, Mohammed Khaleel, Wallapak Tavanapong, Adisak Sukul y David Peterson (2020). "A framework for deep quantification learning". En: Joint European Conference on Machine Learning and Knowledge Discovery in Databases. Springer, págs. 232-248

# **Arquitectura**



### HistNetQ [Pérez-Mon et al 2025]

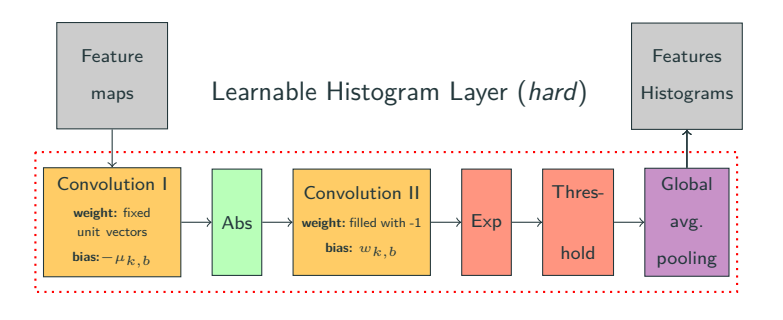
#### Dos elementos fundamentales:

- 1. Usar histogramas para representar la distribución de las bags
  - Aprende los centros y la anchura de cada bin
  - Hard binning o Soft binning
- 2. Generación de bags: BagMixer
  - Coge dos bags del conjunto de entrenamiento y las mezcla (mitad y mitad)
  - La prevalencia es la media. Sabemos que tiene un cierto ruido, pero es menor que si se cuantificase la muestra

Olaya Pérez-Mon, Alejandro Moreo, Juan José del Coz y Pablo González (2025). "Quantification using permutation-invariant networks based on histograms". En: *Neural Computing and Applications* 37.5, págs. 3505-3520

#### Hard Binning

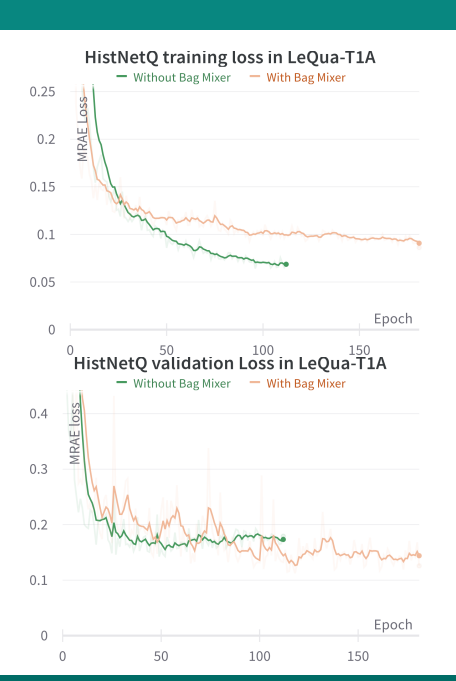
$$\phi_{k,b}(f_{k,i}) = \begin{cases} 0, & \text{si } 1,01^{w_{k,b} - |f_{k,i} - \mu_{k,b}|} \le 1 \\ 1, & \text{si no} \end{cases}$$



### Resultados

	LeQua-T1B		LeQua-T2		Fashion-MNIST	
	AE	RAE	AE	RAE	AE	RAE
CC	$0.0141 \pm 0.003$	$1.8936 \pm 1.187$	$0.0166 \pm 0.003$	$2.3096 \pm 1.383$	$0.0163 \pm 0.007$	$0.5828 \pm 0.72$
PCC	$0.0171 \pm 0.003$	$2.2646\pm1.416$	$0.0193\pm0.003$	$2.6751\pm1.605$	$0.0204\pm0.008$	$0.7817 \pm 0.97$
ACC	$0.0184 \pm 0.004$	$1.4213 \pm 1.270$	$0.0164\pm0.004$	$1.3479\pm1.161$	$0.0082\pm0.003$	$0.2226 \pm 0.23$
PACC	$0.0158 \pm 0.004$	$1.3054\pm0.988$	$0.0155\pm0.004$	$1.1942\pm1.135$	$0.0067\pm0.002$	$0.1831 \pm 0.19$
EMQ-BCTS	$0.0117 \pm 0.003$	$0.9372\pm0.817$	$0.0138\pm0.004$	$1.1500\pm0.978$	$0.0065\pm0.002$	$0.1510 \pm 0.19$
EMQ-NoCalib	$0.0118 \pm 0.003$	$0.8780\pm0.751$	$0.0134\pm0.003$	$1.1616\pm0.991$	$0.0132\pm0.005$	$0.2549 \pm 0.22$
DeepSets (avg)	$0.0128 \pm 0.004$	$0.9954 \pm 0.658$	$0.0408 \pm 0.010$	$1.6982 \pm 2.263$	$0.0083 \pm 0.003$	$0.3283 \pm 0.23$
DeepSets (med)	$0.0143 \pm 0.004$	$0.8443\pm0.543$	$0.0209\pm0.006$	$1.2353\pm0.891$	$0.0094\pm0.003$	$0.7195 \pm 0.58$
DeepSets (max)	$0.0277 \pm 0.005$	$1.4646\pm1.026$	$0.0219\pm0.004$	$2.4217 \pm 1.879$	$0.0219\pm0.007$	$0.3520 \pm 0.32$
SetTransformers	$0.0385 \pm 0.008$	$1.6748\pm1.428$	$0.0384\pm0.013$	$3.6275 \pm 4.218$	$0.0104\pm0.003$	$2.2017 \pm 1.19$
HistNetQ (ours)	$0.0107 \pm 0.004$	$0.7574 \pm 0.489$	$0.0181 \pm 0.006$	$0.9508\pm0.576$	$0.0060\pm0.002$	${\pm}0.1592 \pm 0.1$

### Bag Mixer



#### Referencias

Pablo González, Alberto Castaño, Chawla Nitesh y Juan José del Coz (2017). "A Review on Quantification Learning". En: ACM Computing Surveys 50.2

Alberto Castaño, Jaime Alonso, Pablo González, Pablo Pérez y Juan José del Coz (2024). "QuantificationLib: A Python library for quantification and prevalence estimation". En: *SoftwareX* 26, pág. 101728

Alberto Castaño, Jaime Alonso, Pablo González y Juan José del Coz (2023). "An equivalence analysis of binary quantification methods". En: *Proceedings of the AAAI Conference on Artificial Intelligence*. Vol. 37. 6, págs. 6944-6952

Alberto Castaño, Pablo González, Jaime Alonso González y Juan Jose Del Coz (2022). "Matching distributions algorithms based on the Earth mover's distance for ordinal quantification". En: *IEEE Transactions on Neural Networks and Learning Systems* 35.1, págs. 1050-1061

Olaya Pérez-Mon, Juan José del Coz y Pablo González (2025). *Quantification via Gaussian Latent Space Representations*. arXiv: 2501.13638 [cs.LG]. URL: https://arxiv.org/abs/2501.13638

# Gracias!





















#### Introducción a la Cuantificación

ESTIMANDO PREVALENCIAS POR CLASE MEDIANTE APRENDIZAJE SUPERVISADO

Juan José del Coz Velasco juanjo@uniovi.es Centro de Inteligencia Artificial - Universidad de Oviedo